



UNIVERSITÄT
HEIDELBERG
ZUKUNFT
SEIT 1386

Astrophysics with Optical Interferometers

Andreas Quirrenbach

Landessternwarte
Zentrum für Astronomie der Universität Heidelberg

The Mark III Interferometer (1987-1992)



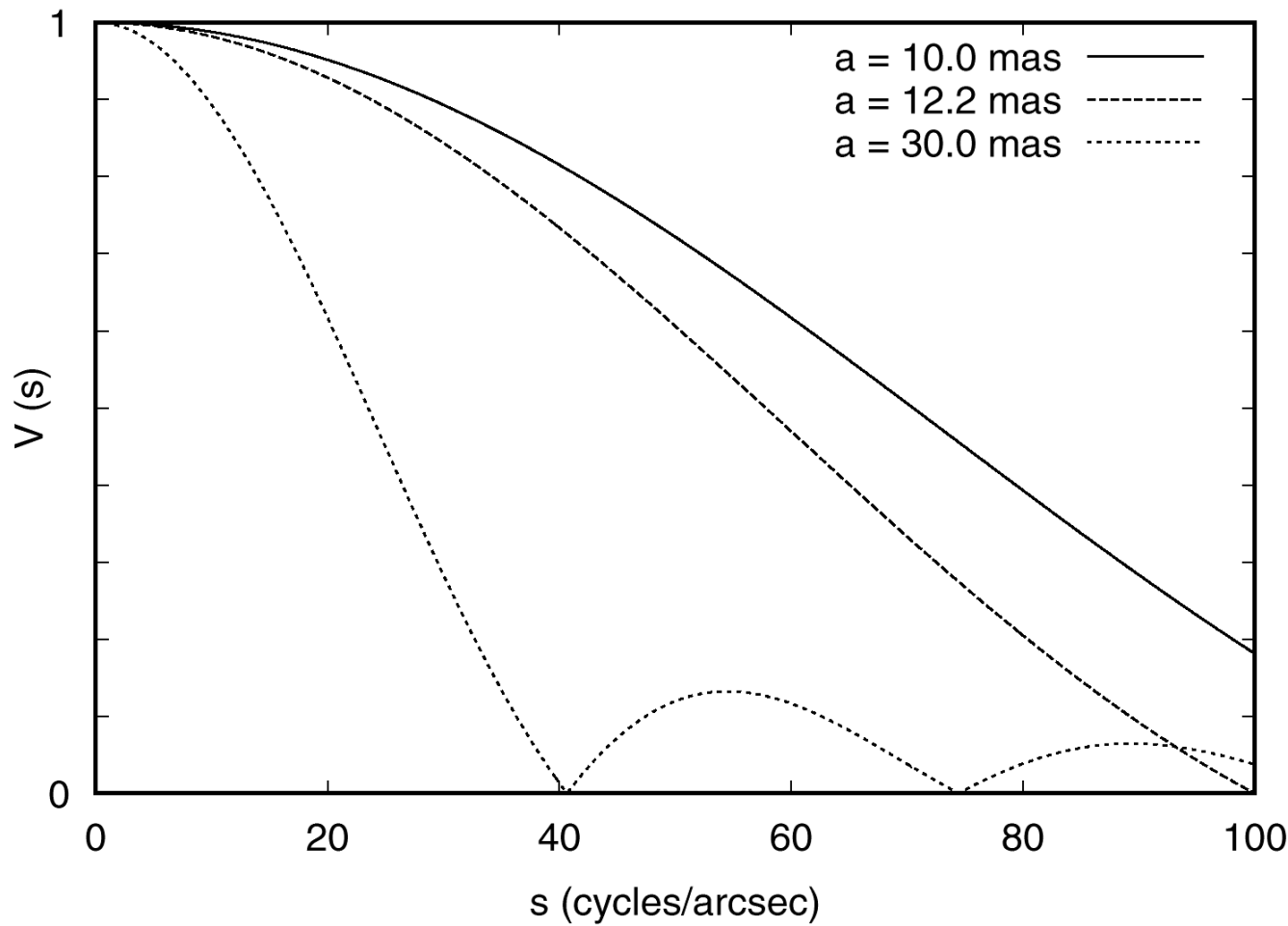
UNIVERSITÄT
HEIDELBERG
ZUKUNFT
SEIT 1386



Stellar Diameters: Visibility as a Function of Baseline Length



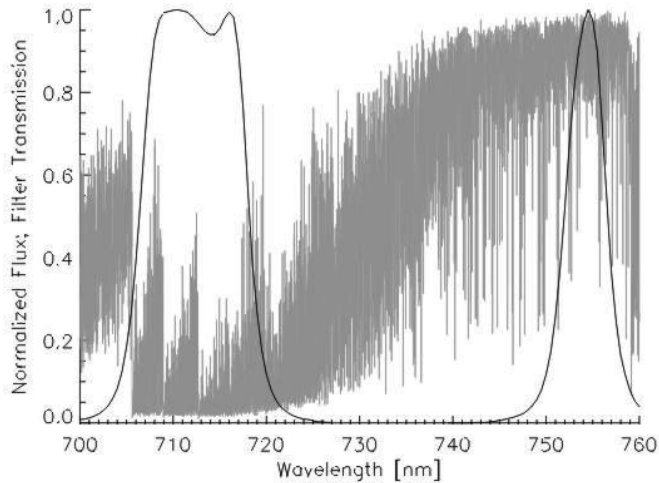
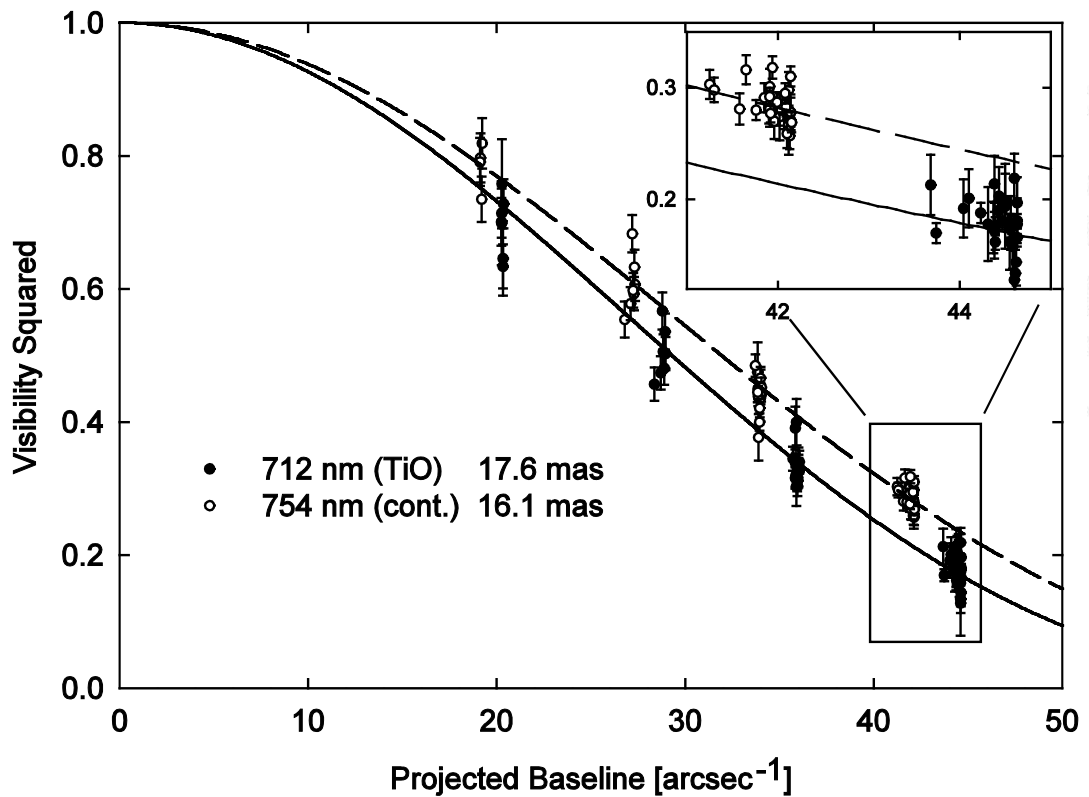
UNIVERSITÄT
HEIDELBERG
ZUKUNFT
SEIT 1386



Mk III Diameter Measurements of the Giant Star β Pegasi



UNIVERSITÄT
HEIDELBERG
ZUKUNFT
SEIT 1386

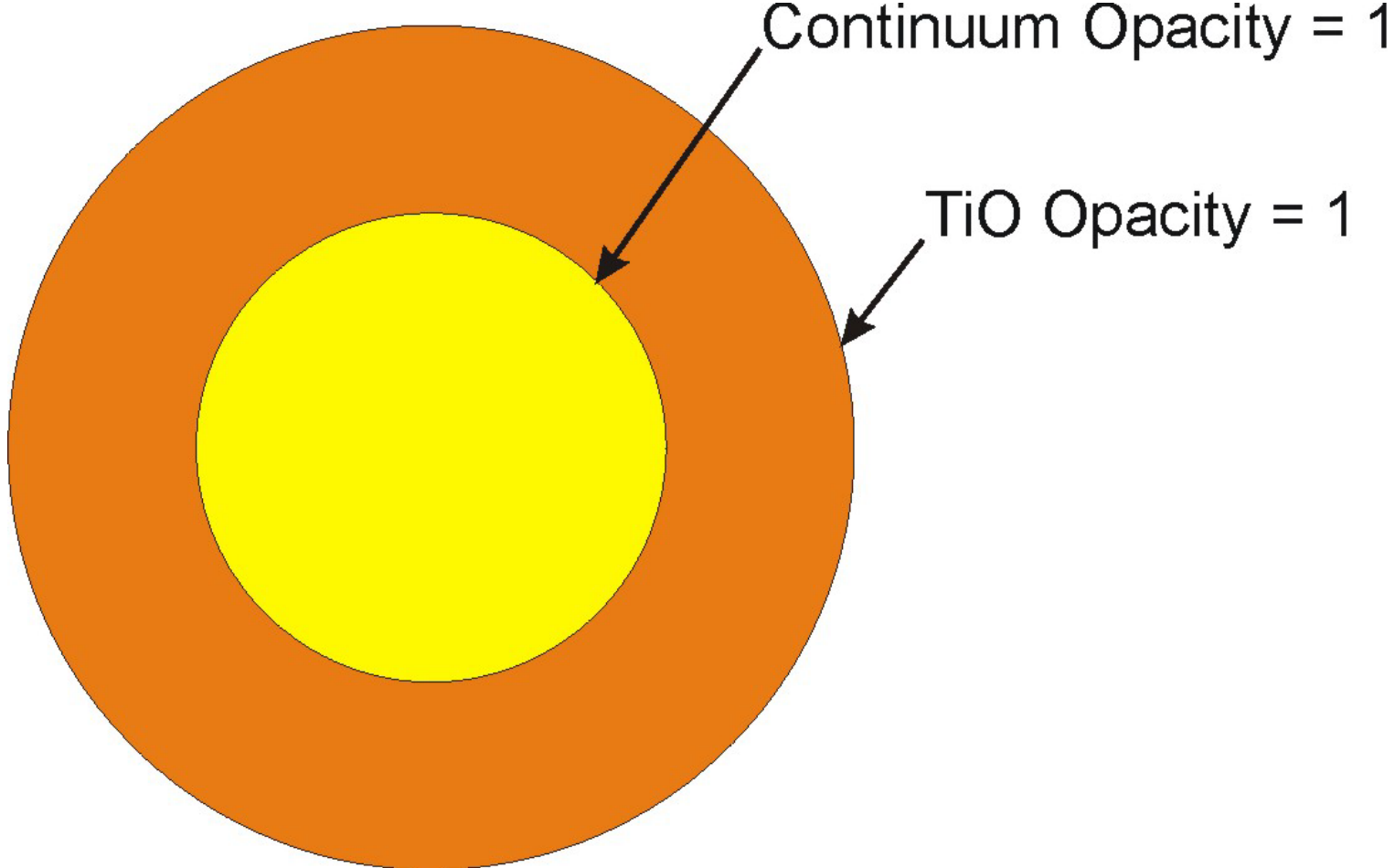


Quirrenbach et al. (1993)

Schematic Model of Extended Stellar Atmosphere



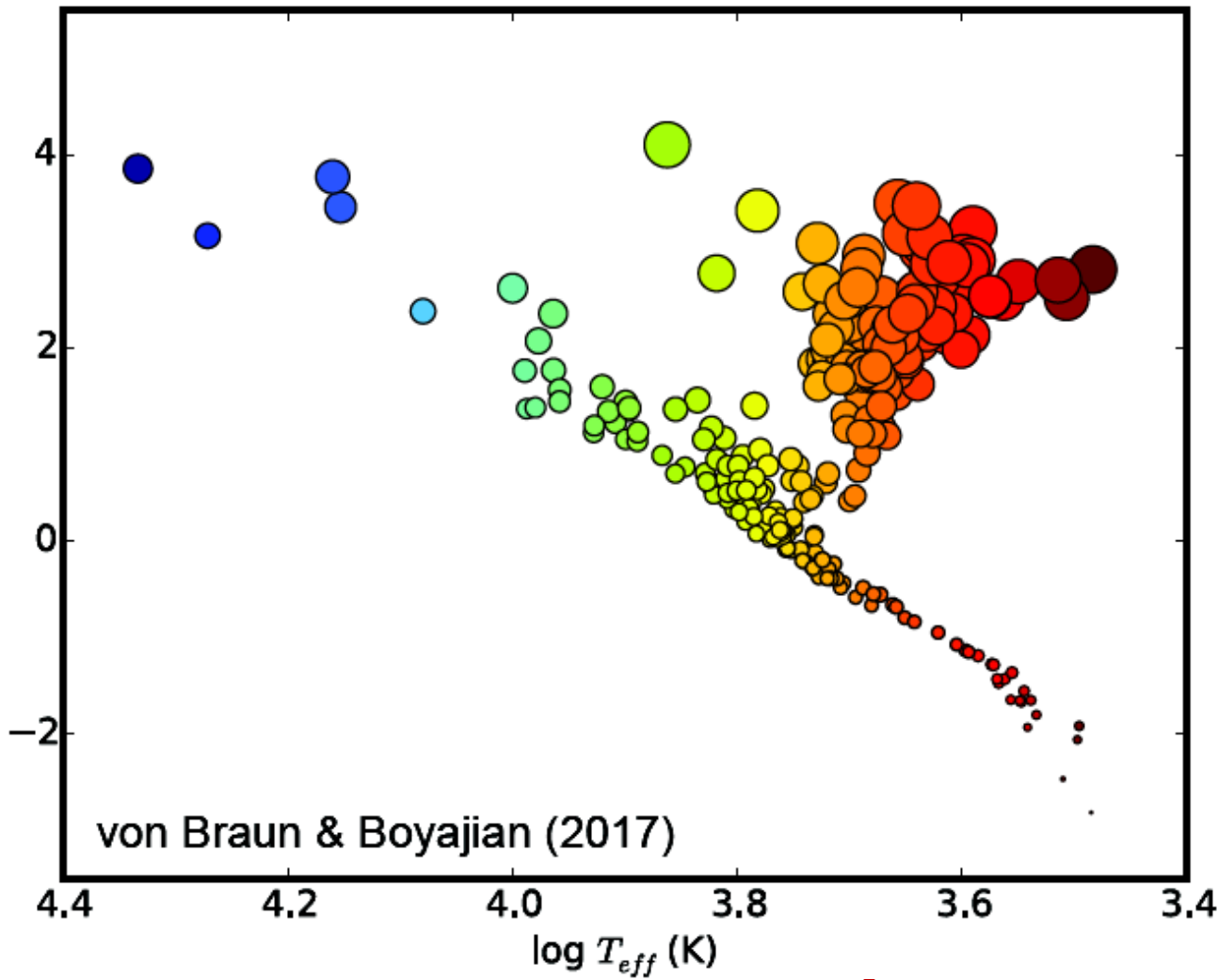
UNIVERSITÄT
HEIDELBERG
ZUKUNFT
SEIT 1386



Compilation of Interferometric Stellar Diameters



UNIVERSITÄT
HEIDELBERG
ZUKUNFT
SEIT 1386



Aerial Photo of Mt. Wilson



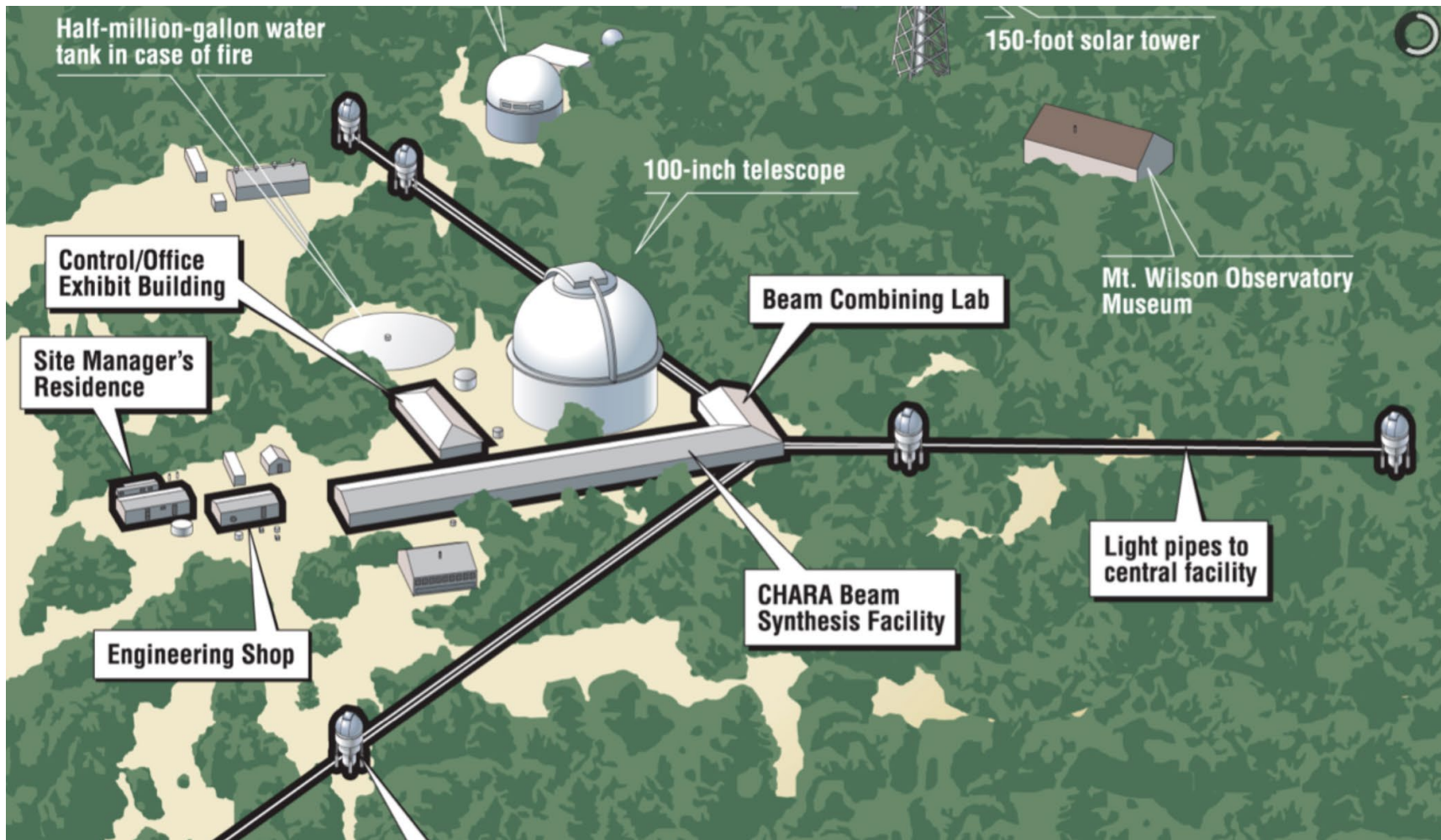
UNIVERSITÄT
HEIDELBERG
ZUKUNFT
SEIT 1386



CHARA Layout



UNIVERSITÄT
HEIDELBERG
ZUKUNFT
SEIT 1386

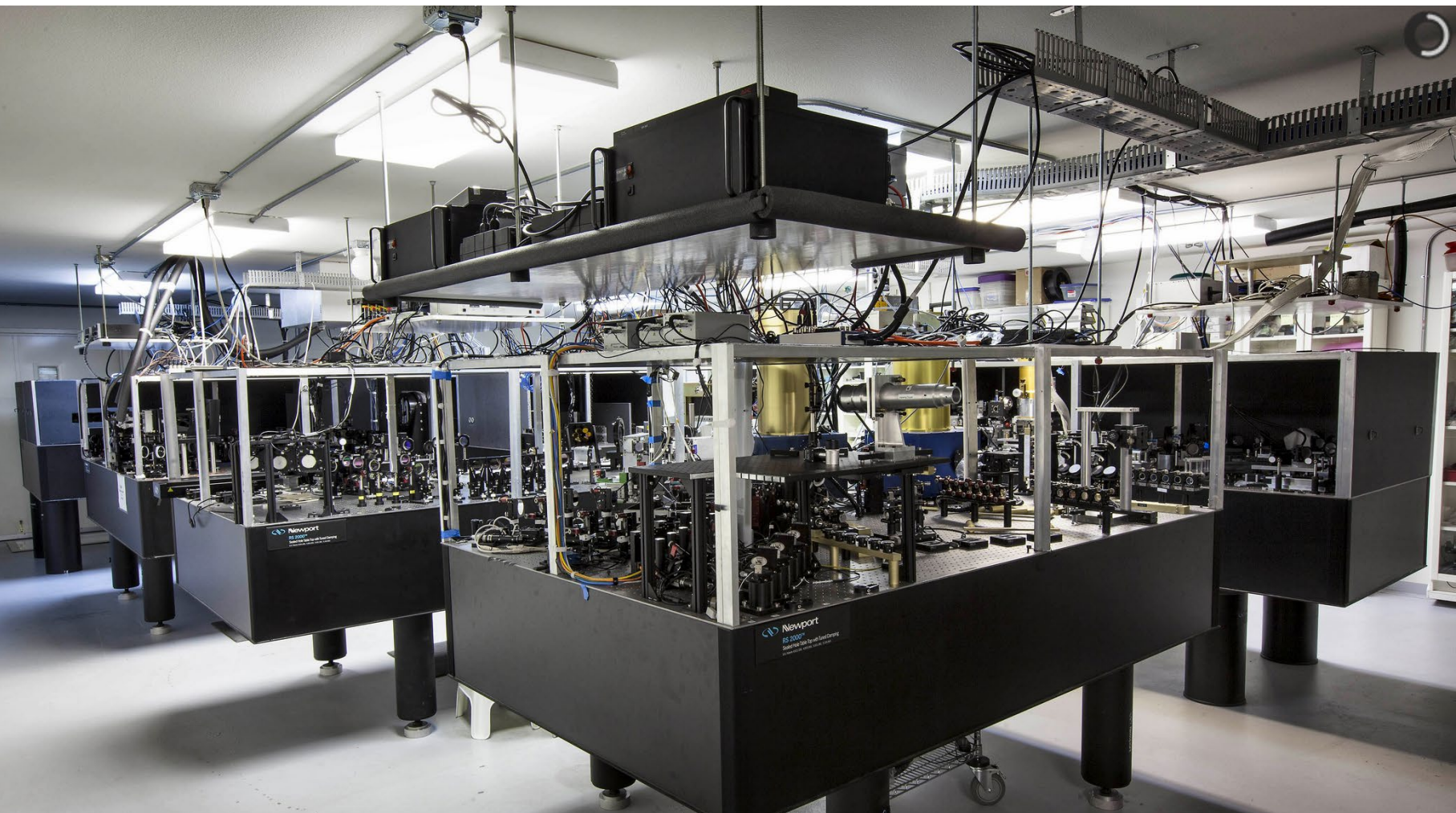


CHARA

Beam Combination Lab



UNIVERSITÄT
HEIDELBERG
ZUKUNFT
SEIT 1386

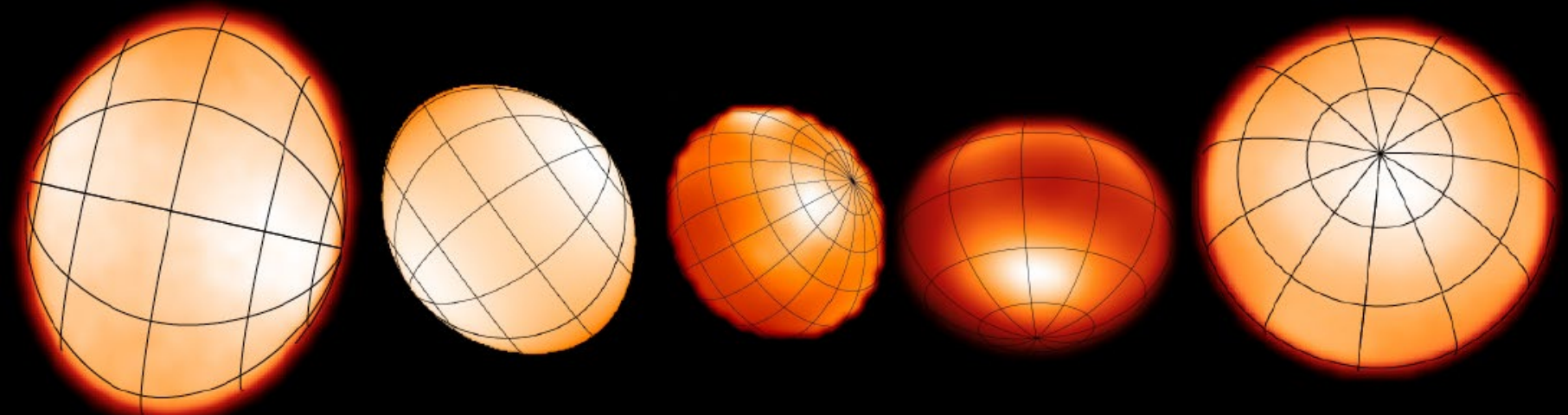


Rapidly Rotating Stars (CHARA)



UNIVERSITÄT
HEIDELBERG
ZUKUNFT
SEIT 1386

B8V A5IV A7V A7V-IV F2IV



Regulus

Rasalhague

Altair

Alderamin

Bet Cas

CHARA Movie of β Lyrae



UNIVERSITÄT
HEIDELBERG
ZUKUNFT
SEIT 1386



ESO VLT I (Cerro Paranal)



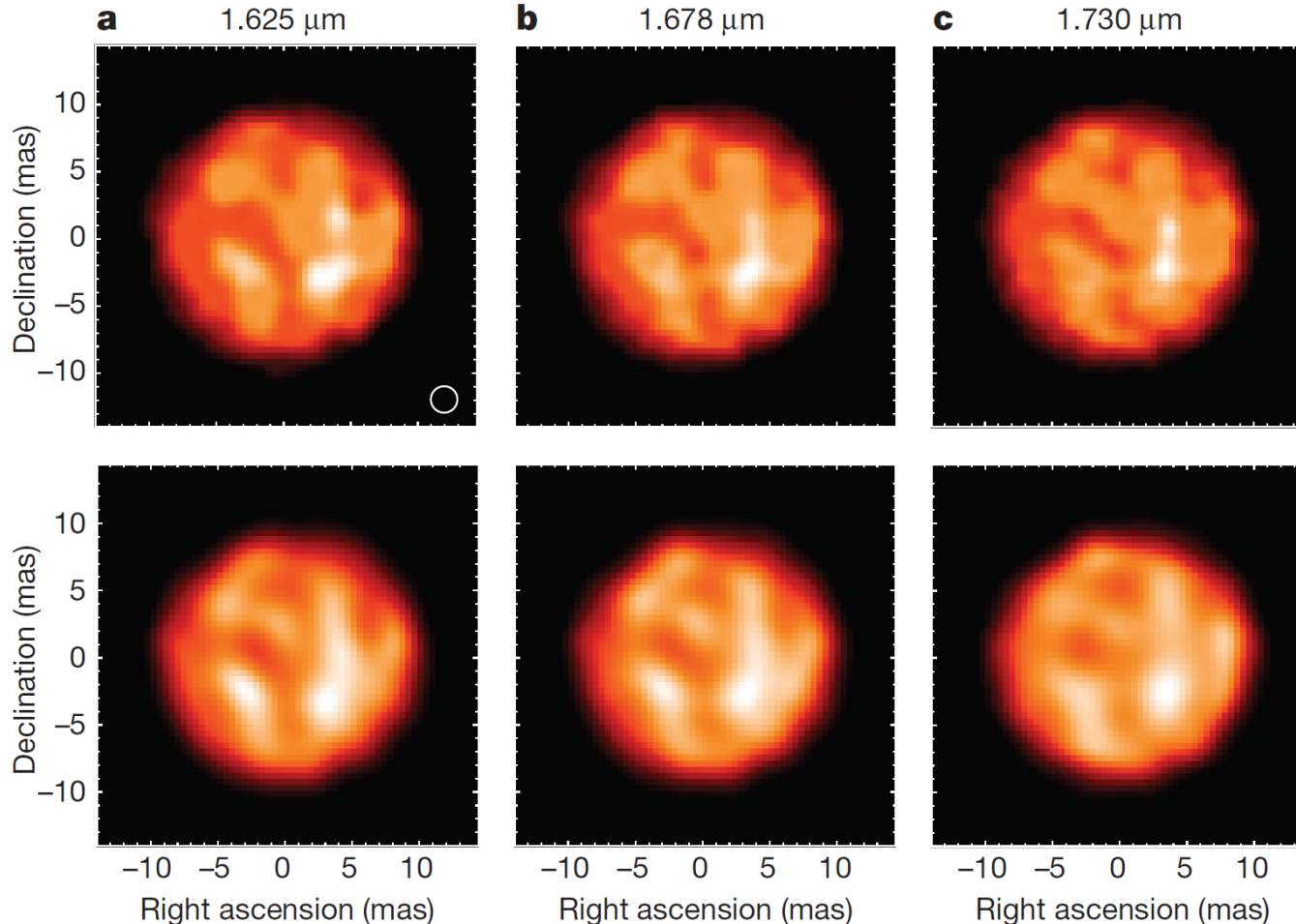
UNIVERSITÄT
HEIDELBERG
ZUKUNFT
SEIT 1386



VLT/PIONIER Images of the Giant Star π^1 Gruis



UNIVERSITÄT
HEIDELBERG
ZUKUNFT
SEIT 1386

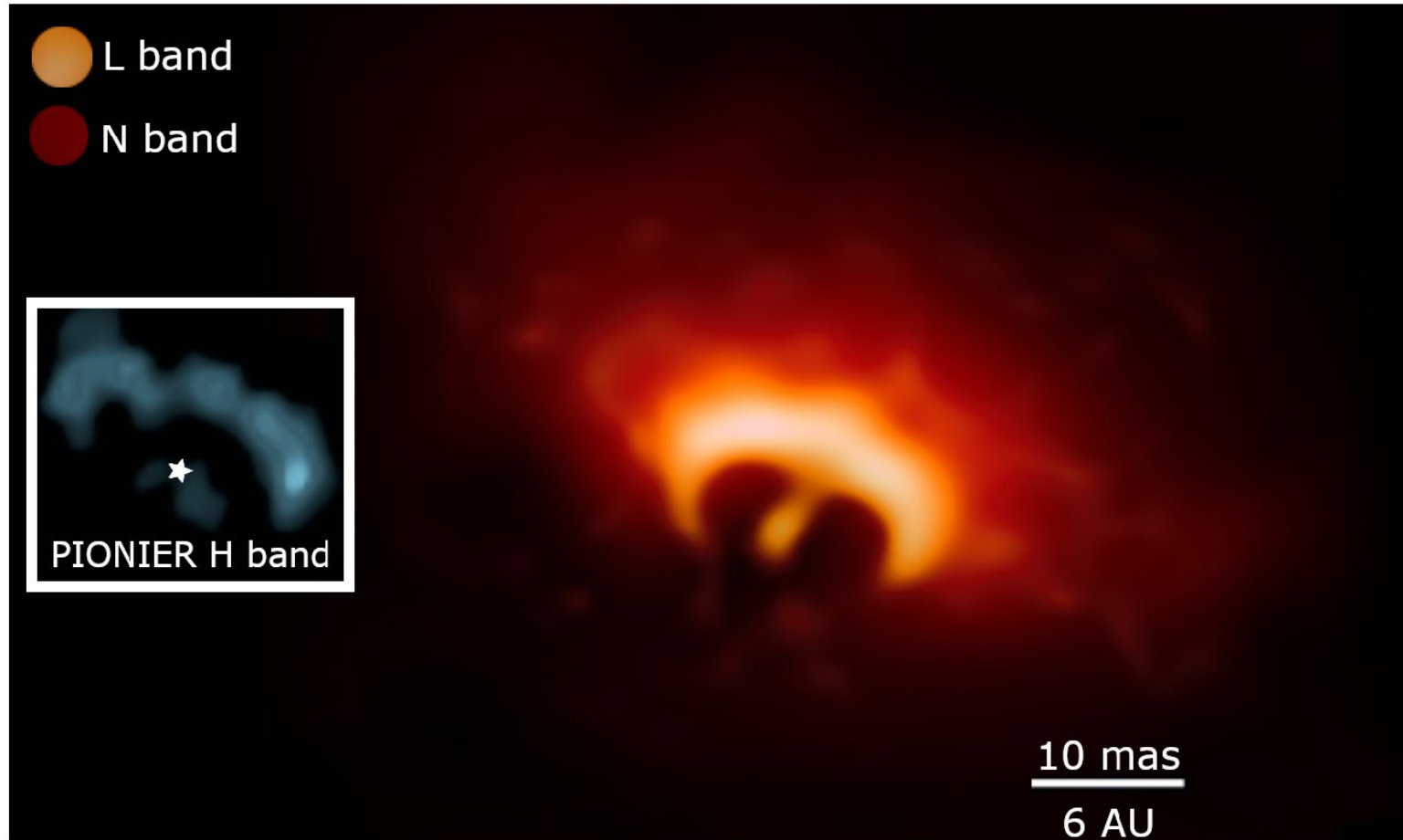


Paladini et al.
(2018)

VLTI/MATISSE Image of the B[e] Star FS CMa



UNIVERSITÄT
HEIDELBERG
ZUKUNFT
SEIT 1386

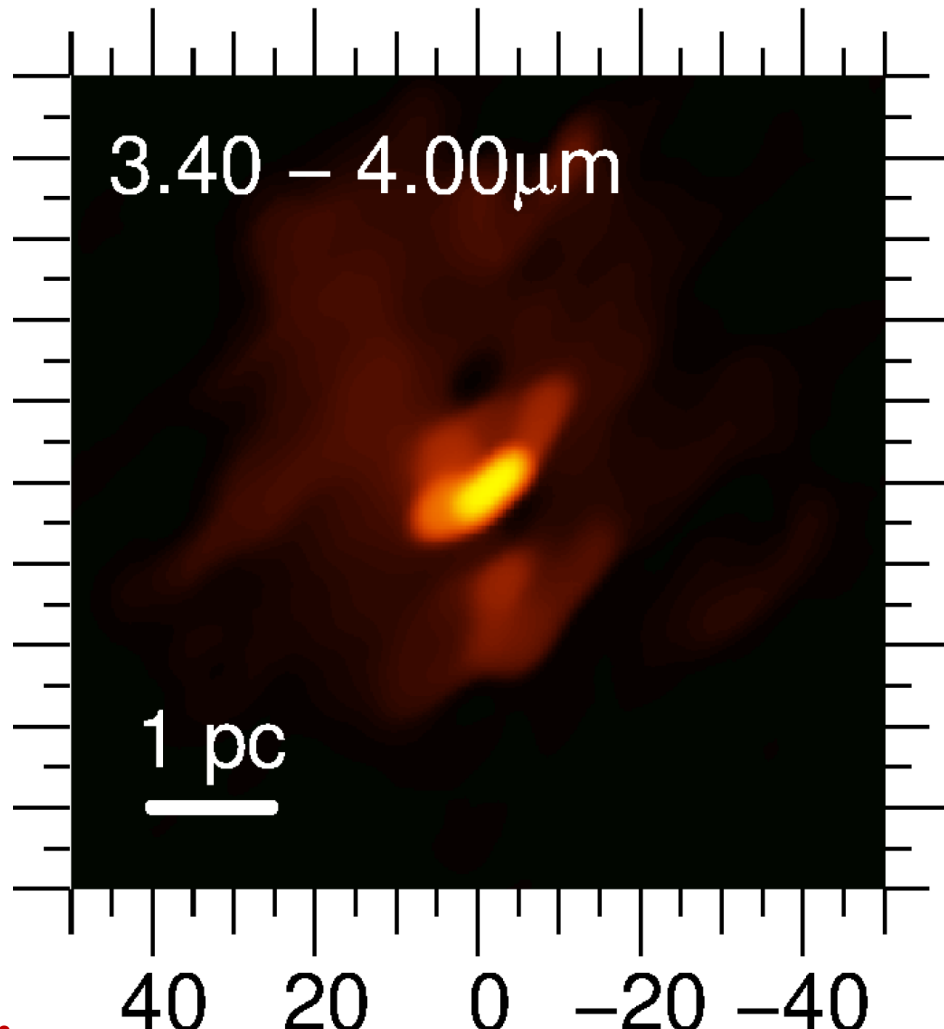


Lopez et al. (2022)

VLTI/Matisse View of the Nucleus of NGC1068



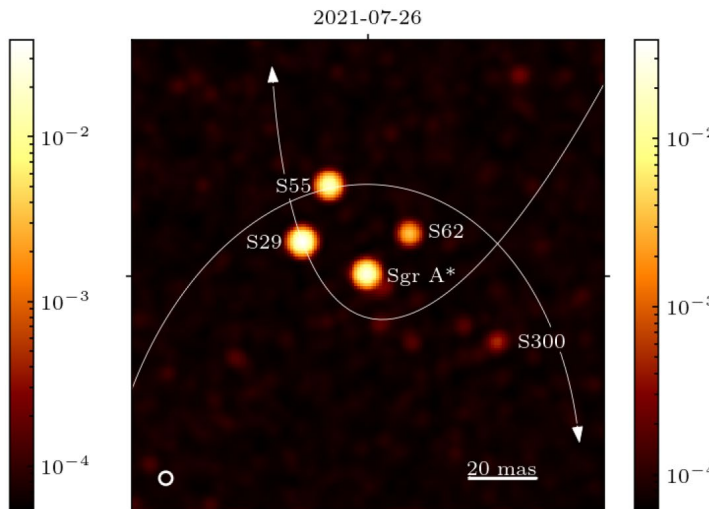
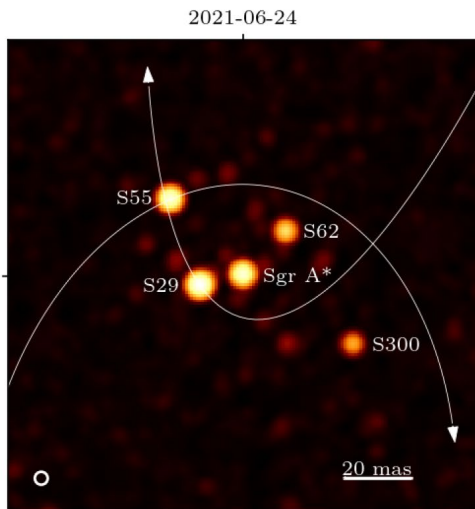
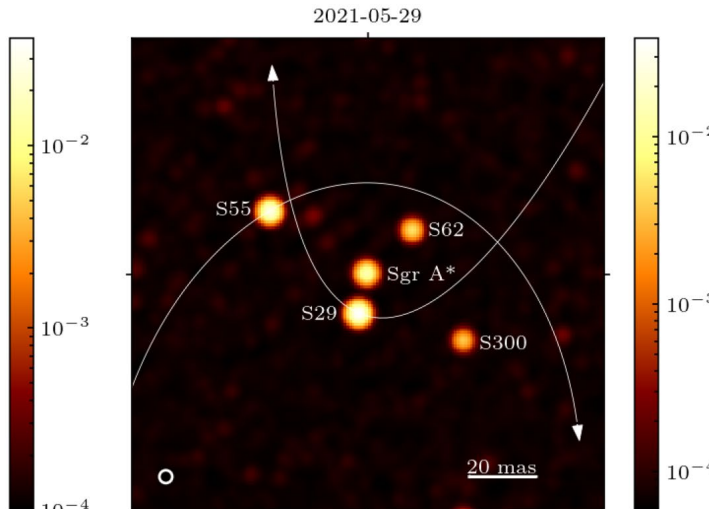
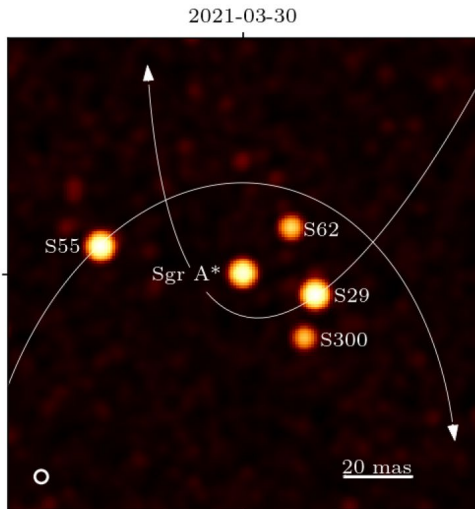
UNIVERSITÄT
HEIDELBERG
ZUKUNFT
SEIT 1386



VLTI/GRAVITY Images of the Galactic Center



UNIVERSITÄT
HEIDELBERG
ZUKUNFT
SEIT 1386

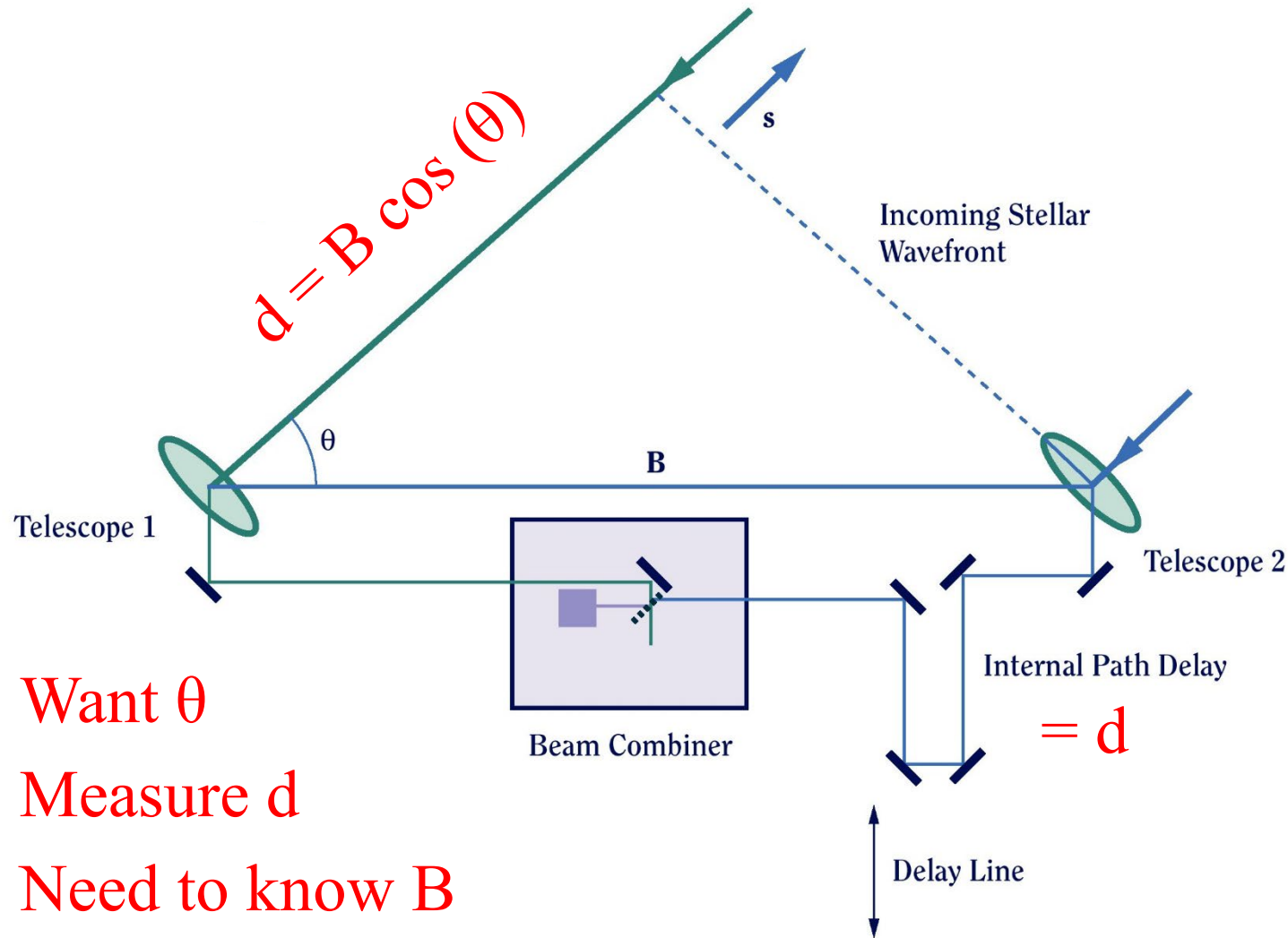


Gravity
Collaboration
(2022)

Astrometric Measurements with an Interferometer



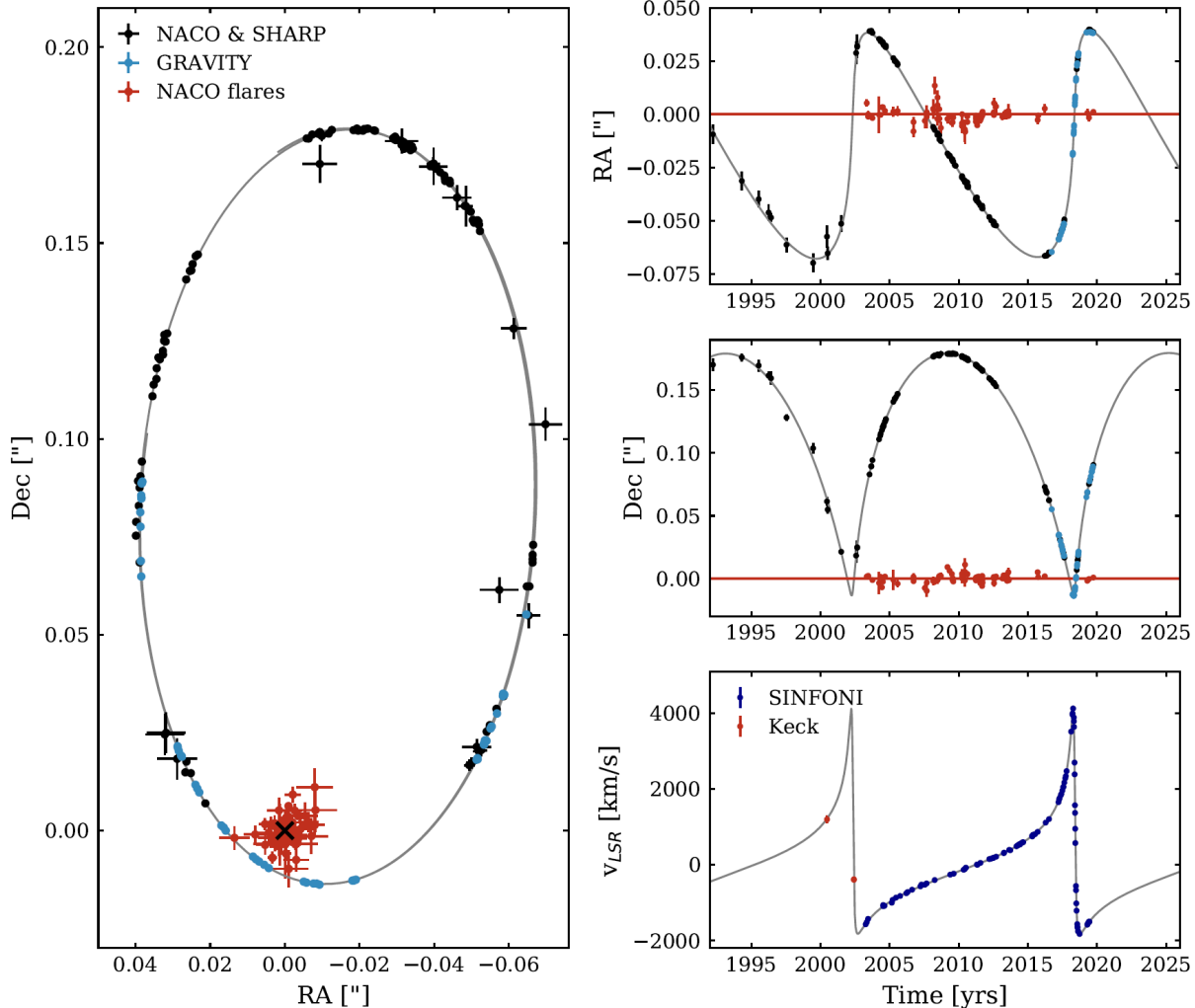
UNIVERSITÄT
HEIDELBERG
ZUKUNFT
SEIT 1386



Orbit of the Galactic Center Star S2



UNIVERSITÄT
HEIDELBERG
ZUKUNFT
SEIT 1386

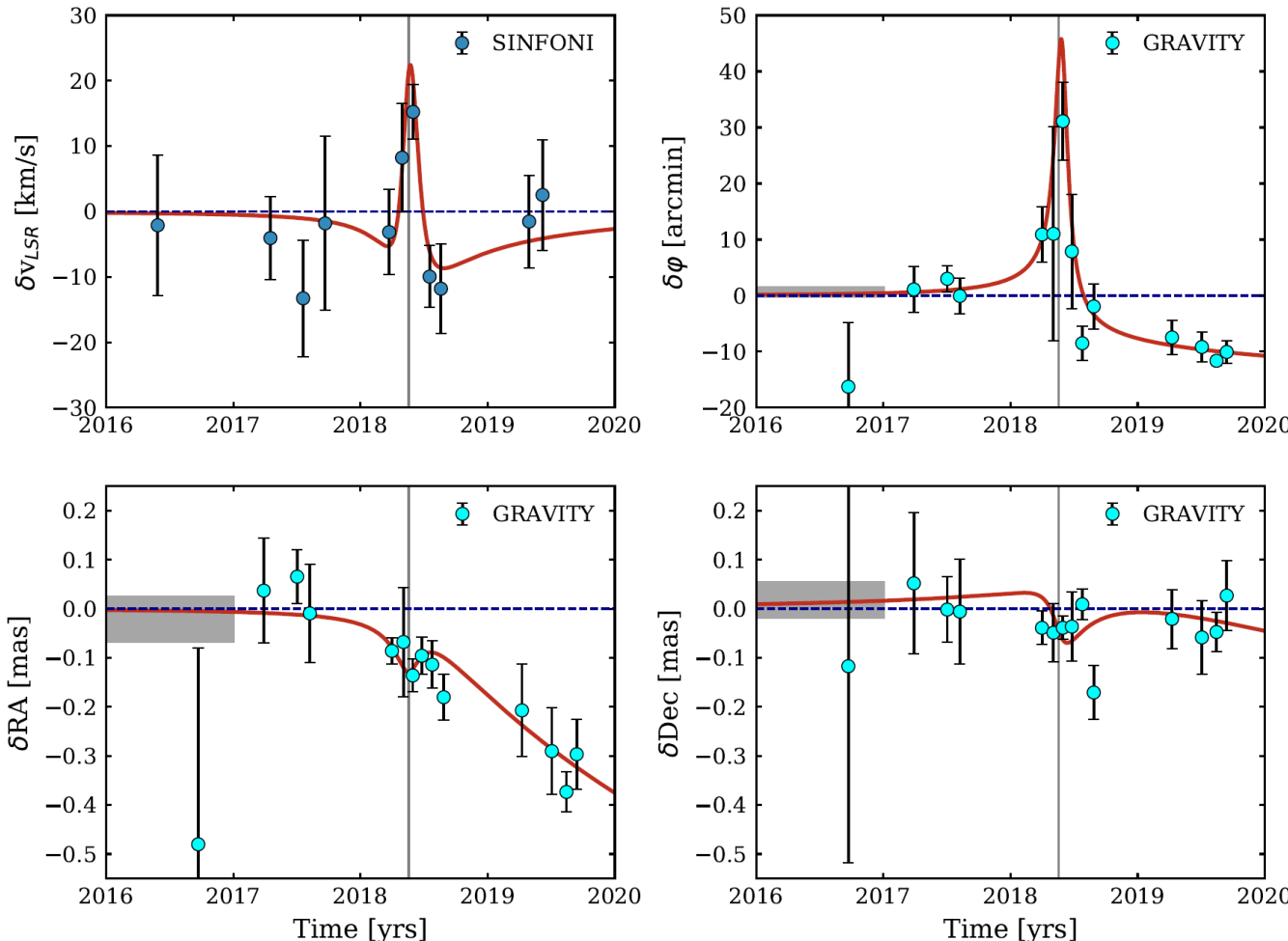


Gravity
Collaboration
(2020)

Schwarzschild Precession of the Orbit of the GC Star S2



UNIVERSITÄT
HEIDELBERG
ZUKUNFT
SEIT 1386



Gravity
Collaboration
(2020)

Hanbury Brown's Intensity Interferometer (Narrabri)



Stellar Diameters from Narrabri Interferometer



UNIVERSITÄT
HEIDELBERG
ZUKUNFT
SEIT 1386

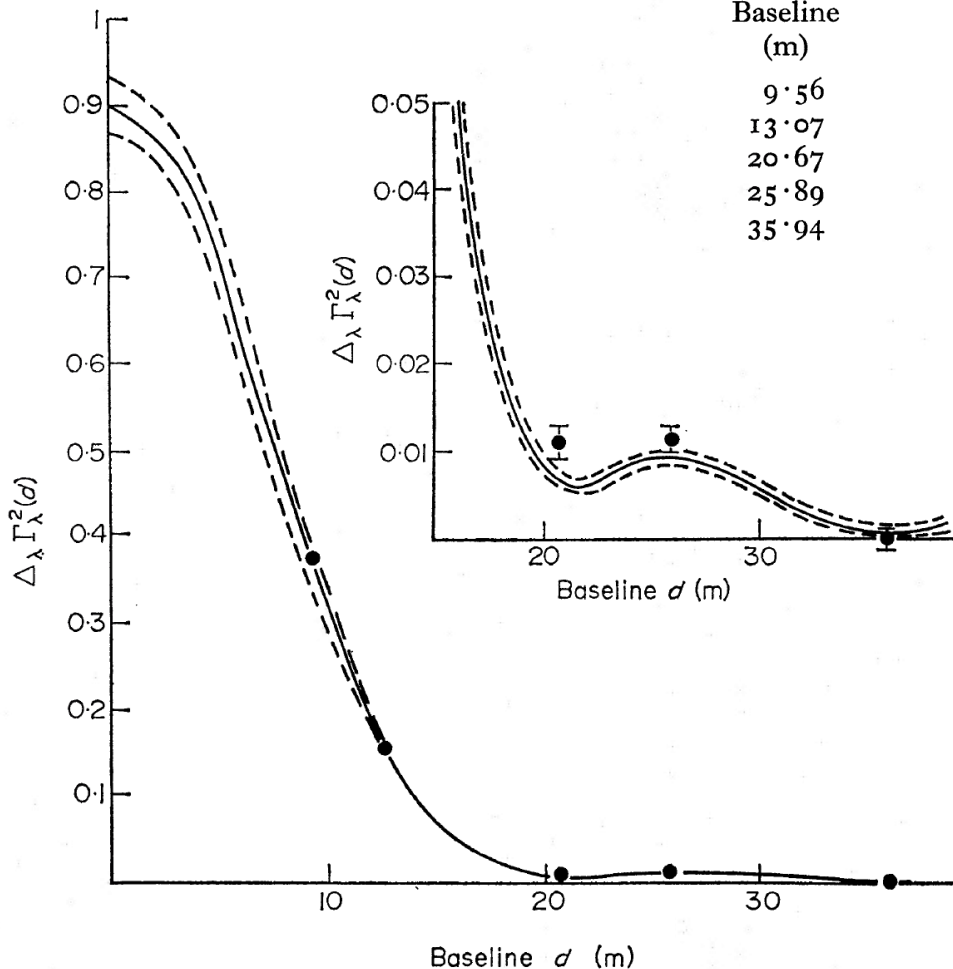
Star	Year	Wave-length (Å)	$C \pm \sigma$ (Arbitrary units)	$C_N \pm \sigma$ (Normalized)	Δ_λ	$\theta_{UD} \pm \sigma$ (10^{-3} seconds of arc)	$\bar{\theta}_{UD} \pm \sigma$ (10^{-3} seconds of arc)				
β Cru	1965	4385	276	13	0.87	0.04	0.998	0.689	0.033	0.705	0.025
	1966	4430	215	12	0.93	0.07	0.998	0.726	0.038	0.74	0.05
γ Ori	1966	4430	167	11	1.11	0.12	0.998	0.74	0.05	0.78	0.05
ϵ CMa	1967	4430	145	10	0.96	0.11	0.998	0.78	0.04	0.77	0.06
α Pav	1966	4430	241	16	1.06	0.09	0.998	0.77	0.06	0.70	0.05
ϵ Ori	1966	4430	140	11	0.93	0.11	0.998	0.70	0.05	0.70	0.05
α Eri	1964	4385	521	49	—	—	0.988	2.01	0.18	1.86	0.07
	1965	4385	319	16	0.98	0.05	0.990	1.83	0.08	0.97	0.07
α Gru	1964	4608	119	19	1.03	0.17	0.997	0.97	0.20	0.98	0.07
	1965	4385	374	32	1.13	0.10	0.997	0.98	0.07	1.33	0.07
α Leo	1966	4385	373	23	1.12	0.07	0.994	1.33	0.07	1.33	0.07
β Ori	1965	4385	318	24	0.99	0.08	0.980	2.57	0.14	2.57	0.14
	1966	4385	385	17	1.10	0.05	0.901	5.83	0.13	5.85	0.10
α CMa	1967	4430	187	10	1.24	0.12	0.900	5.87	0.16	3.31	0.15
	1963	4385	544	103	—	—	0.961	3.56	0.40	1.98	0.13
α Lyr	1965	4385	367	21	1.05	0.06	0.968	3.26	0.16	6.48	0.39
	1964	4608	103	16	0.89	0.14	0.990	1.65	0.28	5.31	0.15
α PsA	1965	4385	373	31	1.08	0.09	0.987	2.07	0.15	2.79	0.14
	1965	4385	345	55	1.08	0.17	0.880	6.48	0.39	5.31	0.36
α Car	1965	4385	345	55	1.08	0.19	0.973	2.98	0.43	2.79	0.14
α Aql	1964	4608	124	22	1.08	0.19	0.976	2.77	0.15	5.31	0.36
	1965	4385	317	18	0.96	0.06	0.917	5.31	0.36	—	—
α CMi	1967	4430	182	28	1.21	0.21	0.917	—	—	—	—

Hanbury Brown
et al. (1967)

Limb Darkening of Sirius from Narrabri Interferometer



UNIVERSITÄT
HEIDELBERG
ZUKUNFT
SEIT 1386



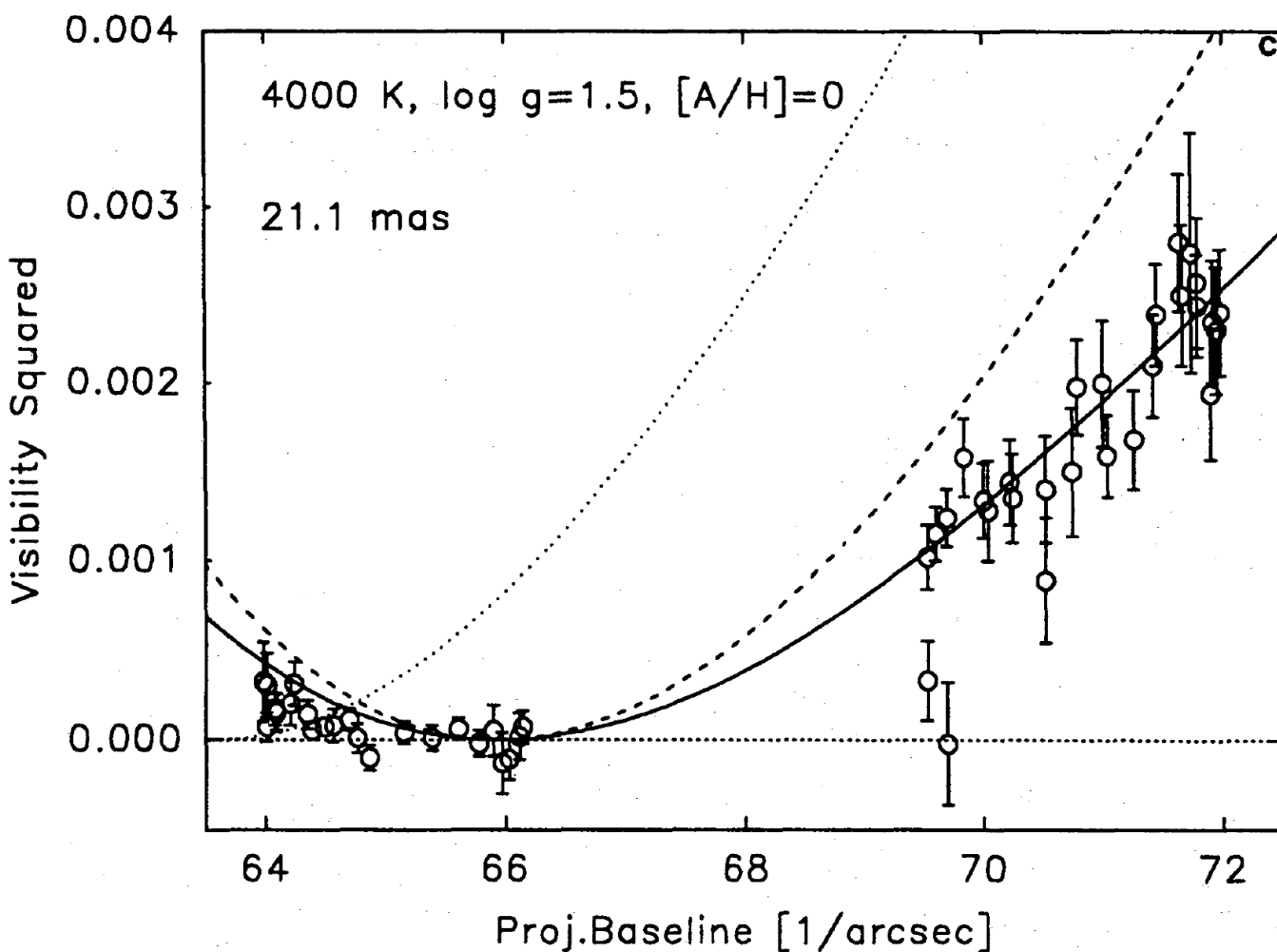
Baseline (m)	Exposure (h)	Correlation	Theoretical*
		Observed	
9.56	41.3	0.371 ± 0.007	0.377
13.07	29.4	0.160 ± 0.002	0.159
20.67	37.2	0.0107 ± 0.0015	0.0061
25.89	57.5	0.0118 ± 0.0011	0.0100
35.94	37.9	0.0000 ± 0.0013	0.0009

Hanbury Brown
et al. (1974)

Limb Darkening of Arcturus from Mark III Interferometer



UNIVERSITÄT
HEIDELBERG
ZUKUNFT
SEIT 1386



Quirrenbach
et al. (1996)

Conclusions



- Optical interferometry enables astrophysical measurements at the sub-mas scale.
 - Parameter estimation, imaging, astrometry.
- OI has entered mainstream astronomy.
- Many topics in stellar astronomy.
 - Some very interesting extragalactic examples, too.
- Sensitivity is key to success.
 - Beware of scaling with coherence factor.